

О ССИЙСКАЯ АКАДЕМИЯ НАУК

СИБИРСКОЕ ОТДЕЛЕНИЕ

А В Т О М Е Т Р И Я

---

2005, том 41, № 1

УДК 539.2, 536.1

О. И. Нечаева

(Новосибирск)

СРАВНИТЕЛЬНЫЙ АНАЛИЗ  
НЕЙРОСЕТЕВЫХ АЛГОРИТМОВ КЛАСТЕРИЗАЦИИ СИМВОЛЬНЫХ  
ПОСЛЕДОВАТЕЛЬНОСТЕЙ\*

Рассматриваются алгоритмы кластеризации символьных последовательностей с использованием расстояния Левенштейна, основанные на методе k-средних и нейронной сети Кохонена. Приводятся описание и сравнительная характеристика по времени и точности двух эвристических алгоритмов нахождения ядра в кластерах: алгоритма выбора ядра из кластера и алгоритма подсчета символов. Оценивается возможность применения метода k-средних с переходом к частотным словарям для кластеризации различных типов символьных последовательностей. Сравниваются по времени и качеству алгоритмы кластеризации векторов в евклидовом пространстве методом k-средних и с помощью нейронной сети Кохонена.

**Введение.** Процесс кластеризации представляет собой разбиение множества объектов на подмножества, называемые кластерами, элементы которых близки между собой в некотором смысле. В качестве объектов могут выступать, например, символьные последовательности либо векторы в евклидовом пространстве, характеризующие некоторые показатели в той или иной предметной области.

Кластеризация применяется в самых разнообразных областях, например: в медицине для систематики и диагностики заболеваний по известным симптомам, в археологии для установления таксономии различных находок, в музыке для выявления структуры мелодии или установления plagiat, в распознавании изображений и сигналов, в маркетинговых исследованиях и т. д. Одной из важнейших областей применения кластеризации является обработка генетических последовательностей, например выделение генов из длинных последовательностей ДНК [1].

Существуют различные подходы к кластеризации множеств объектов. Примерами могут служить: кластеризация, основанная на определении плотности объектов в некотором пространстве [2]; иерархическая кластеризация с поэтапным построением дерева кластеров [3]; кластеризация, основанная не на рассмотрении локальных связей между объектами, а на итера-

---

\* Работа поддержана «Программой фундаментальных исследований РАН» (грант № 17, 2004).

тивной минимизации глобального критерия [4]. Один из важнейших подходов к кластеризации основан на использовании нейросетевых алгоритмов, к которым относятся «итерационный метод динамических ядер» [5], называемый также методом k-средних, нейронная сеть Кохонена [6], самоорганизующиеся карты свойств [6].

В представленной работе рассматриваются алгоритмы кластеризации символьных последовательностей методом k-средних с использованием расстояния Левенштейна [7] при двух способах вычисления ядра в кластере. Для кластеризации большого числа длинных последовательностей рассматривается также подход, основанный на переходе от символьных последовательностей к векторам евклидова пространства, называемым «частотными словарями» этих последовательностей [8]. Поиск ядра в евклидовом пространстве выполняется путем нахождения «среднего вектора», а также с помощью построения нейронной сети Кохонена [6]. Для всех этих методов разработаны алгоритмы и проведен ряд численных экспериментов. Целью исследования является определение областей параметров кластеризуемых последовательностей, в которых тот или иной алгоритм наиболее эффективен по времени и качеству.

Результаты исследования, во-первых, позволяют судить о том, какой из вышеперечисленных методов наиболее подходит для кластеризации последовательностей, характеризующих, например, нотный текст, с помощью которой выявляется глобальная структура мелодии в музыкальном произведении; во-вторых, иллюстрируют утверждение в [9] о том, что метод перехода к частотным словарям применим для достаточно длинных символьных последовательностей, какими являются генетические последовательности.

1. Задача кластеризации и алгоритм ее решения методом k-средних. Пусть  $Y$  – это некоторый алфавит символов,  $Y^*$  – множество всевозможных последовательностей символов из  $Y$ . Рассмотрим множество  $X \subset Y^*$  из  $m$  символьных последовательностей  $X = \{x^1, \dots, x^m\}$ , где  $x^i = [y_1^i, y_2^i, \dots, y_{N_i}^i]$  ( $y_j^i \in Y$ ,  $N_i$  – длина i-й последовательности);  $m$  – количество последовательностей в  $X$ .

Чтобы проводить кластеризацию множества символьных последовательностей, нужно определить меру близости между его элементами. Для символьных последовательностей одной из наиболее распространенных мер близости является расстояние Левенштейна [7].

Расстоянием Левенштейна  $d(x^1, x^2)$  между двумя последовательностями  $x^1 = [y_1^1, y_2^1, \dots, y_{N_1}^1]$  и  $x^2 = [y_1^2, y_2^2, \dots, y_{N_2}^2]$  называется неотрицательное целое число, равное минимальному количеству операций вставок, удалений и замен символов в  $x^1$ , необходимых, чтобы из  $x^1$  получить  $x^2$ . Заметим, что  $d(x^1, x^2)$  определено для любой пары элементов из  $Y^*$ , симметрично и удовлетворяет неравенству треугольника для любых  $x^1$  и  $x^2$ . Вычислить расстояние Левенштейна можно, например, с помощью алгоритма Вагнера – Фишера из работы [10], который основан на методе динамического программирования. Его суть состоит в том, что вычисляются расстояния между все более и более длинными префиксами двух последовательностей на основании уже вычисленных до получения окончательного результата. В процессе вычисления расстояния между последовательностями  $[y_1^1, \dots, y_i^1, \dots, y_{N_1}^1]$  и  $[y_1^2, \dots, y_j^2, \dots, y_{N_2}^2]$  заполняется массив  $\{d_{i,j}\}$  размера  $(N_1 - 1) \times (N_2 - 1)$  по

рекуррентной формуле:

$$d_{i,j} = \begin{cases} i, & j = 0; \\ j, & i = 0; \\ \min \{d_{i-1,j-1}, d_{i,j-1}, d_{i-1,j-1} - (y_i^1, y_j^2)\}, & i \neq 0, j \neq 0, \end{cases} \quad (1)$$

где  $d_{i,j} = d([y_1^1, y_2^1, \dots, y_i^1], [y_1^2, y_2^2, \dots, y_j^2])$ , а  $(\cdot, \cdot)$  – это отрицание символа Кронекера, т. е.  $(y_i^1, y_j^2) = 1$ , если  $y_i^1 = y_j^2$ , и  $(y_i^1, y_j^2) = 0$  в противном случае. Искомым расстоянием Левенштейна между  $x^1$  и  $x^2$  является число, равное последнему элементу массива  $\{d_{i,j}\}$ , т. е.  $d(x^1, x^2) = d_{N_1, N_2}$ .

Задача кластеризации множества  $X$  заключается в нахождении разбиения этого множества на подмножества  $P_1, \dots, P_k$ , называемые кластерами, такие что  $P_1 \cup P_2 \cup \dots \cup P_k = \{x^1, \dots, x^m\}$ ,  $k \leq m$ ,  $P_i \cap P_j = \emptyset$ ,  $i \neq j$ , и элементы каждого кластера  $P_i$ ,  $i = 1, \dots, k$ , близки между собой. Наиболее распространенным методом решения этой задачи является метод k-средних [5]. Для его описания введем следующие понятия.

Ядром кластера  $P_i$  называется последовательность  $a^i \in Y^*$ , которая удовлетворяет условию

$$a^i = \arg \min_{a \in Y^*} \sum_{x \in P_i} d(a, x), \quad i = 1, \dots, k. \quad (2)$$

Следует заметить, что  $a^i$  является аналогом центра тяжести кластера  $P_i$  и играет роль его «типичного представителя». Введение ядра позволяет formalизовать понятие близости элементов кластера и сводит распределение последовательностей по кластерам к сравнению их с ядрами всех кластеров и выбору ближайшего.

Математическая постановка метода k-средних заключается в том, чтобы найти набор ядер  $a^1, \dots, a^k$  и разбить множество  $X$  на кластеры  $\{x^1, \dots, x^m\}$

$P_1 \cup P_2 \cup \dots \cup P_k$ , минимизирующие величину, которая далее называется критерием качества:

$$D = \sum_{i=1}^k \sum_{x \in P_i} d(a^i, x). \quad (3)$$

Из формулы (3) видно, что в результате кластеризации множество  $X$  разбивается на такие подмножества-кластеры  $P_1, \dots, P_k$ , что для каждого элемента  $x \in P_i$  расстояние от  $x$  до ядра  $a^i$  кластера  $P_i$  меньше расстояний до ядер остальных кластеров.

Заметим, что изначально может быть неизвестно число кластеров, так как отсутствует априорная информация о данных и их природе. Поэтому обычно к выбирается исходя из условий конкретной задачи. После разбиения в случае необходимости нужно осуществить слияние некоторых кластеров и уже с новым числом кластеров повторить кластеризацию.

Далее приведены основные шаги итерационного алгоритма кластеризации методом k-средних. Обозначим  $a^i(n)$  ядро на итерации с номером  $n$ .

### А л г о р и т м 1.

0. Фиксируется начальный набор ядер  $a^1(0), \dots, a^k(0)$  произвольно либо по какому-нибудь эвристическому правилу, и полагается  $P_i$ ,  $i = 1, \dots, k$ .

1. На итерации с номером  $n$  для каждой последовательности  $x^j$ ,  $j = 1, \dots, m$ , вычисляются расстояния до всех  $k$  ядер, и выбирается среди них минимальное:  $d(x^j, a^i(n)) = \min \{d(x^j, a^1(n)), \dots, d(x^j, a^k(n))\}$ . Последовательность  $x^j$  добавляется в кластер  $P_i$ . В случае, когда минимум достигается при нескольких значениях  $i$ , выбор между ними может быть сделан произвольно. В результате получается некоторое предварительное разбиение  $P_1, \dots, P_k$ .

2. В каждом кластере  $P_i$  вычисляется новое ядро  $\hat{a}^i$ ,  $i = 1, \dots, k$ , и делается переход к шагу 1 с найденными ядрами  $a^i(n-1)$ :  $\hat{a}^i$ ,  $i = 1, \dots, k$ .

Схема одной итерации показана на рис. 1.

На каждой итерации алгоритма уменьшается критерий качества  $D$ , отсюда следует сходимость алгоритма: после конечного числа шагов разбиение  $\{x^1, \dots, x^m\} = P_1 \cup P_2 \cup \dots \cup P_k$  уже не меняется.

Главная вычислительная сложность в методе  $k$ -средних – это поиск ядра в кластере на шаге 2 алгоритма 1. Задача нахождения ядра с использованием расстояния Левенштейна, вообще говоря, является NP-полной. Рассмотрим вычисление ядра в отдельно взятом кластере  $P$ . Пусть  $t$  – количество последовательностей в кластере  $P$ ,  $t = m$ ;  $N$  – максимальная длина последовательностей из  $P$ ;  $Y$  – множество символов, встречающихся в последовательностях кластера,  $|Y|$  – количество этих символов. Тогда если искать ядро полным перебором, то сложность будет иметь порядок  $O(tN^2 |Y|^N)$ . Для ее уменьшения предлагается использовать два эвристических алгоритма.

1.1. Алгоритм выбора ядра из кластера. Наиболее простой способ нахождения ядра в кластере основан на его выборе среди последовательностей кластера.

Пусть  $x^1, \dots, x^t$  – последовательности кластера  $P$ . Тогда ядром кластера будем называть  $x^p \in P$ , сумма расстояний от которого до всех элементов кластера минимальна, и формула (2) принимает вид

$$x^p = \arg \min_{x \in P} \sum_{i=1}^t d(x, x^i). \quad (4)$$

В программе это реализуется двойным циклом, перебирающим всевозможные пары входных последовательностей. Сложность нахождения ядра таким способом равна  $O(N^2 t^2)$ , так как вычисление расстояния Левенштей-

for ( $j = 0; j < m; j++$ )

{

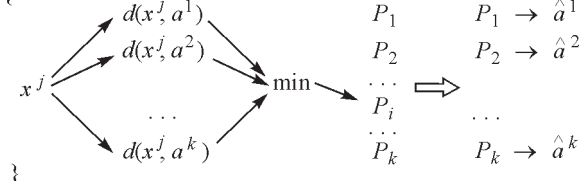


Рис. 1. Схема итерации алгоритма кластеризации методом  $k$ -средних

на для двух последовательностей  $x^i$  и  $x^j$  имеет сложность  $O(N_i N_j)$ .

1.2. Алгоритм подсчета символов. Другой способ нахождения ядра в кластере основан на подсчете частот встречаемости символов в последовательностях кластера и предложен в [11] для «решения модельных задач распознавания символьных последовательностей и реальных задач распознавания слов произвольного диктора». Этот способ предусматривает посимвольное построение ядра. Для его представления введем некоторые понятия.

Массив  $F$  – это прямоугольная таблица символов из  $Y$  размера  $t \times N$ ,  $N = \max N_i$ , строками которой являются  $x^1, \dots, x^t \in P$ . При этом если  $N_i < N$ , то в  $i$ -й строке оставшиеся  $N - N_i$  элементов полагаются равными пустому символу  $e$ .

Текущий массив  $F_{\text{тек}}$  – это таблица символов из  $Y$  размера  $t \times N$ , которая состоит из  $t$  строк и обрабатывается в течение работы алгоритма. Перед вычислением алгоритма все элементы текущего массива равны пустому символу.

Алгоритм подсчета символов для нахождения ядра в кластере  $P$  выглядит следующим образом.

### А л г о р и т м 2.

0. Первый столбец текущего массива  $F_{\text{тек}}$  полагается равным первому столбцу массива  $F$ .

1. Для каждого  $i = 1, \dots, N$  выполняются следующие действия.

1.1. Для каждого непустого символа  $y$  в текущем массиве  $F_{\text{тек}}$  вычисляется величина  $\nu_y$ , равная количеству строк  $F_{\text{тек}}$ , в которых  $y$  встречается хотя бы один раз. Из этих символов выбирается  $y$  с наибольшей  $\nu_y$ .

1.2. Если  $\max_y \nu_y > 0,5t$ , то  $y$  включается очередным символом в исходное ядро и проводится коррекция текущего массива  $F_{\text{тек}}$ , которая заключается в следующем. В каждой строке  $F_{\text{тек}}$  символ  $y$ , а также символы, находящиеся левее самого левого вхождения  $y$ , заменяются на  $e$ . Если  $y$  не входит в какую-нибудь строку, то она остается без изменения. В случае когда условие  $\max_y \nu_y > 0,5t$  выполняется для нескольких символов  $y$ , то для включения в ядро выбирается символ с минимальной суммой номеров позиций в строках текущего массива  $F_{\text{тек}}$ . Если в строке несколько символов данного типа, то суммируется номер позиции самого левого вхождения символа. Переход на 1.1.

1.3. Если  $\max_y \nu_y > 0,5t$ , то очередной столбец текущего массива  $F_{\text{тек}}$  полагается равным столбцу массива  $F$  с тем же номером. Переход на 1.1.

Сложность алгоритма 2 в худшем случае, когда на одном шаге не проводится коррекция текущего массива, оценивается  $O(N^2 t)$ .

2. Метод k-средних с переходом к частотным словарям. Важнейшим направлением исследований в молекулярной биологии и биофизике является изучение взаимосвязи между структурой генетической цепочки и информацией, зашифрованной в различных ее частях. Одним из подходов к решению такого рода задач является кластеризация. При этом огромные размерности генетических цепочек делают практически неприменимым расстояние Левенштейна. В качестве альтернативы в [8] предлагается осуществлять кластеризацию не последовательностей, а частотных словарей этих последовательностей. В этом случае последовательности считаются близкими, если близки их частотные словари в евклидовой метрике.

Рассмотрим множество  $X = \{x^1, \dots, x^m\}$ ,  $x^i = [y_1^i, y_2^i, \dots, y_{N_i}^i]$ . Для каждой последовательности  $x^i$  частотный словарь толщины  $q$ ,  $N_i = q$ , строится следующим образом. Нумеруются всевозможные подпоследовательности длины  $q$  всех элементов множества  $X$ . Если число таких подпоследовательностей равно  $s$ , то для  $x^i$  частотный словарь  $W_i = (f_1, f_2, \dots, f_s)$  – это вектор размерности  $s$ ,  $j$ -я координата которого равна частоте встречаемости  $j$ -й подпоследовательности в  $x^i$ , т. е.

$$f_j = \frac{j}{N_i - q + 1}; \quad 0 \leq f_j \leq 1 \quad (j = 1, \dots, s); \quad \sum_{j=1}^s f_j = 1, \quad (5)$$

где  $f_j$  – количество повторений подпоследовательности с номером  $j$  в  $x^i$ , а число всех подпоследовательностей длины  $q$  в  $x^i$  равно  $N_i = q - 1$ .

Каждый словарь можно рассматривать как точку в  $s$ -мерном евклидовом пространстве и проводить кластеризацию словарей  $\{W_1, \dots, W_m\}$  алгоритмом 1 метода  $k$ -средних с использованием обычной евклидовой метрики. Ядро  $a^i$  в кластере  $P_i$  с использованием евклидовой метрики вычисляется по формуле

$$a^i = \frac{1}{|P_i|_W} \sum_{W \in P_i} W. \quad (6)$$

Так как каждой последовательности  $x^i$  соответствует свой частотный словарь  $W_i$  толщины  $q$ , то, кластеризовав множество словарей  $\{W_1, \dots, W_m\}$ , получим кластеризацию исходного множества последовательностей  $\{x^1, \dots, x^m\}$ . Следует отметить, что результаты кластеризации существенно зависят от выбора толщины  $q$  словаря [8].

Основным преимуществом этого подхода является линейная сложность вычислений по  $s$  и  $m$  на каждой итерации, что позволяет применять метод для обработки длинных генетических последовательностей.

Так как сделан переход к евклидовой метрике, то кластеризацию можно проводить с помощью нейронной сети Кохонена [6]. В отличие от метода  $k$ -средних в этом случае ядро корректируется по мере поступления очередной последовательности из множества  $X$ . Поэтому не требуется применять на каждой итерации при вычислении ядра в соответствующем кластере формулу (4).

Далее приведены основные шаги кластеризации с помощью нейронной сети Кохонена.

Алгоритм 3.

0. Фиксируется начальный набор ядер  $a^1(0), \dots, a^k(0)$  произвольно либо по какому-нибудь эвристическому правилу, и полагается  $P_i = \emptyset$ ,  $i = 1, \dots, k$ .

1. На итерации с номером  $n$  для каждого  $j = 1, \dots, m$  выполняются следующие действия.

1.1. Для вектора  $W^j$  вычисляются расстояния до всех  $k$  ядер, и выбирается ближайшее к  $W^j$  ядро  $a^i(n)$ :

$$\|W^j - a^i(n)\| = \min \|W^j - a^1(n)\|, \dots, \|W^j - a^k(n)\|. \quad .$$

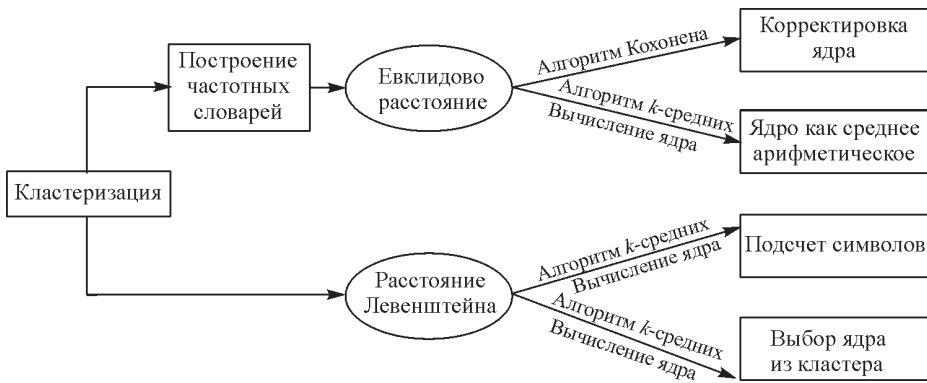


Рис. 2. Схема отношений исследуемых алгоритмов

В случае, когда минимум достигается при нескольких значениях  $i$ , выбор между ними может быть сделан произвольно.

1.2. Проводится корректировка ядра:

$$a^i(n-1) \quad a^i(n) \quad (n)(W^j - a^i(n)), \quad a^p(n-1) \quad a^p(n), \quad p = 1, \dots, k, \quad p \neq i.$$

Вектор  $W^j$  добавляется в кластер  $P_i$ .

2. Повторяется первый шаг до тех пор, пока разбиение не перестанет меняться. Здесь последовательность  $(n)$  – это шаг обучения, который должен удовлетворять условиям

$$\frac{(n)}{n-1} \quad ; \quad \frac{(\bar{n})^2}{n-1} \quad . \quad (7)$$

Например, можно взять в качестве такой последовательности  $(n) = 1/n$ , или  $(n) = 0^n$ , или  $(n) = 0(1-n)$ , где  $\bar{n} = 1$ .

3. Численные эксперименты. Алгоритмы для всех описанных выше методов реализованы в среде Visual C++ 6.0 с использованием библиотеки MFC. На рис. 2 показаны отношения между исследованными алгоритмами. Было проведено несколько сотен численных экспериментов, в которых сравнивались по времени и точности два алгоритма нахождения ядра в кластере (разд. 3.1) для их использования в методе k-средних с расстоянием Левенштейна (разд. 3.2), исследовалась зависимость качества кластеризации с использованием частотных словарей от различных параметров последовательностей, сравнивались результаты кластеризации методом k-средних и нейронной сетью Кохонена в евклидовом пространстве (разд. 3.3).

В экспериментах использовались случайно сгенерированные последовательности символов с заданными значениями длины и мощности алфавита (см. разд. 3.1 и 3.2) и последовательность ДНК бактерии *Methanococcus maripaludis* [12] длиной 1661137 символов (см. разд. 3.3), при этом проводилась кластеризация ее отрезков.

Во всех экспериментах последовательности множества  $X = \{x^1, \dots, x^m\}$  имеют одинаковую длину  $N$ .

3.1. Экспериментальное исследование двух алгоритмов нахождения ядра в кластере с использованием расстояния Левенштейна. Здесь экспери-

ментально определяются и сравниваются вычислительные характеристики двух алгоритмов нахождения ядра в отдельно взятом кластере  $P$ : выбора из кластера и подсчета символов. Пусть кластер  $P$  состоит из  $t$  последовательностей  $x^1, \dots, x^t$  длины  $N, t \leq m$ ;  $\Sigma$  – множество символов, встречающихся в последовательностях кластера,  $Y$ . Вычисляется ядро  $a$  кластера двумя алгоритмами и сравнивается их работа по точности вычисления ядра и времени.

Для сравнения алгоритмов по точности вычисления ядра рассматривается среднее расстояние Левенштейна  $\bar{d}$  от найденного ядра  $a$  до всех последовательностей кластера, которое вычисляется по формуле

$$\bar{d} = \frac{1}{t} \sum_{i=1}^t d(a, x^i). \quad (8)$$

Из формулы (2) следует, что точное ядро кластера – это последовательность, реализующая минимум среднего расстояния до последовательностей кластера. Поэтому считается, что один алгоритм точнее другого вычислил ядро, если соответствующее среднее расстояние меньше. Пусть  $d$  и  $\bar{d}$  – это средние расстояния от ядер  $a$  и  $a'$  до последовательностей кластера, найденных с помощью алгоритма выбора из кластера и алгоритма подсчета символов соответственно.

Эксперимент 1. Цель эксперимента – показать зависимости  $\bar{d}$  и  $\bar{d}'$  от количества  $t$  последовательностей в кластере. Для каждого значения  $t$  (от 2 до 60) при фиксированных длине  $N = 20$  и мощности множества символов  $|\Sigma| = 50$  производились следующие действия:

- двумя алгоритмами вычислялись соответственно два варианта ядра кластера  $a_t$  и  $a'_t$ ;
- для обоих найденных ядер вычислялись средние расстояния  $\bar{d}_t$  и  $\bar{d}'_t$  по формуле (8).

Данный эксперимент проводился также для значений длин последовательностей  $N$ , равных 191, 382, 573, 764.

На рис. 3 изображены пять пар кривых для пяти запусков эксперимента 1 с различными значениями  $N$ . Из рисунка видно, что при малых  $t$  алгоритм выбора из кластера точнее вычисляет ядро по сравнению с алгоритмом подсчета символов. В точке  $t_0$  точность обоих алгоритмов совпадает, а при  $t > t_0$  точность алгоритма подсчета символов становится несколько лучше точности алгоритма выбора из кластера.

Эксперимент 2. Цель эксперимента – получить данные о времени вычисления ядра алгоритмом выбора из кластера и алгоритмом подсчета символов. С помощью функции `clock()` измерялось время вычисления в миллисекундах ядра  $a$  в кластере обоими алгоритмами при фиксированном  $N$  и различных  $t$ .

Результаты измерения времени приведены в таблице, которая подтверждает аналитическую оценку, данную в разд. 1.

Из вышеизложенного следует, что алгоритм подсчета символов несколько превосходит по качеству и скорости вычисления ядра алгоритм выбора из кластера при достаточно большом количестве  $t$  последовательностей в кластере.

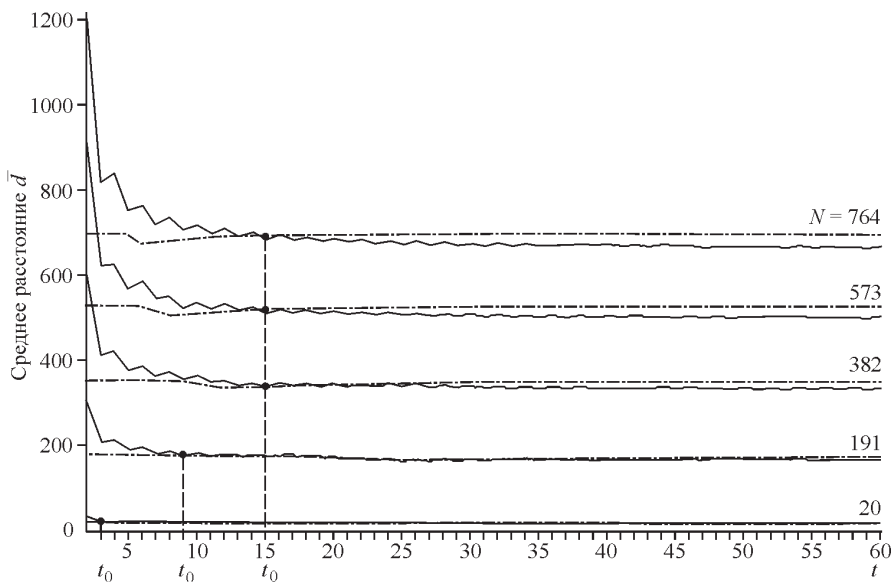


Рис. 3. Зависимости среднего расстояния  $\bar{d}$  от числа последовательностей  $t$  в кластере Р при различных  $N$  и фиксированном  $| |$ . На графиках отмечены точки пересечения  $t_0$  для каждой пары кривых (штрихпунктирная кривая – алгоритм выбора из кластера, сплошная – алгоритм

3.2. Экспериментальное исследование кластеризации методом  $k$ -средних с применением двух алгоритмов нахождения ядра в кластере. Экспериментально определяются и сравниваются вычислительные характеристики двух алгоритмов кластеризации, которые различаются способом нахождения ядер в кластерах. Проводится кластеризация множества символьных последовательностей  $X \subset X_m = \{x^1, \dots, x^m\}$  методом  $k$ -средних с использованием двух алгоритмов нахождения ядра в кластере: подсчета символов и выбора из кластера, а также сравниваются полученные результаты по качеству кластеризации и времени вычисления.

Пусть  $D$  и  $D'$  – критерии качества, вычисленные по формуле (3), для кластеризации  $X$  методом  $k$ -средних с использованием алгоритма подсчета символов и алгоритма выбора из кластера соответственно. Считается, что одна кластеризация качественнее другой, если ее критерий качества меньше.

Эксперимент 3. Цель эксперимента – показать зависимости относительных критериев качества  $D/m$  и  $D'/m$  от количества  $m$  последовательностей в  $X_m$ . Для каждого значения  $m$  от 30 до 290 при фиксированных длине  $N = 20$ , мощности множества символов  $| | = 50$  и количестве кластеров  $k = 20$  производились следующие действия:

$N = 40$	Алгоритм выбора ядра из кластера (время, мс)	Алгоритм подсчета символов (время, мс)
$t = 40$	1203	141
$t = 200$	29609	703
$t = 700$	361750	2609

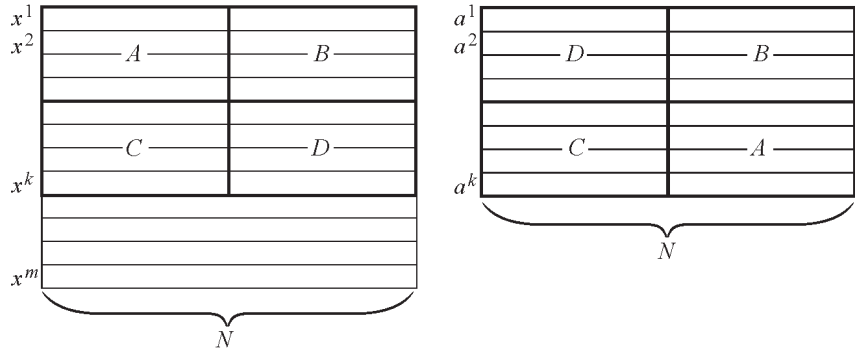


Рис. 4. Выбор начальных ядер на основе входных последовательностей

- выполнялась кластеризация множества  $X_m$  двумя способами: методом k-средних (алгоритм 1) с алгоритмом выбора из кластера и методом k-средних с алгоритмом подсчета символов;
- для обоих вариантов кластеризации вычислялись критерии качества  $D$  и  $D'$  по формуле (3).

В данном эксперименте начальные ядра выбирались на основе входных последовательностей следующим образом:

$$a^i = \begin{cases} \underbrace{[y_{N/2}^{i-k/2}, \dots, y_{N/2+1}^{i-k/2}]_D, \underbrace{y_{N/2-1}^i, \dots, y_N^i}_B}, & \text{если } i = 1, \dots, k/2, \\ \underbrace{[y_1^i, \dots, y_{N/2}^i]_C, \underbrace{y_{1-N/2}^{i-k/2}, \dots, y_{N/2}^{i-k/2}}_A}, & \text{если } i = k/2 + 1, \dots, k. \end{cases}$$

Такой выбор ядер схематически иллюстрирует рис. 4. Эксперимент 3 проводился также для числа кластеров  $k = 30$ .

На рис. 5, a, b изображены два графика зависимостей относительных критериев качества  $D/m$  и  $D'/m$  для двух значений  $k$ :  $k = 20(a)$ ,  $k = 30(b)$ . Из графиков видно, что при малых значениях  $m$  выполняется соотношение  $D \approx D'$ , а при увеличении  $m$  разница сглаживается:  $D \approx D'$ . Это объясняется тем, что если количество последовательностей в  $X$  много больше числа кластеров, то с большой вероятностью в каждый кластер попадает достаточное количество последовательностей, чтобы алгоритм подсчета символов давал приемлемое качество вычисления ядер в кластерах (см. разд. 3.1).

Следует заметить, что в процессе кластеризации входные последовательности могут распределяться по кластерам неравномерно. Это ведет к тому, что в кластерах с малым числом последовательностей вычисление ядра алгоритмом подсчета символов дает плохое качество, и использование таких ядер на следующей итерации не ведет к минимизации  $D$ . Вследствие этого для кластеризации с алгоритмом подсчета символов в рассмотренном эксперименте требовалось в среднем в 10 раз больше итераций, чем с алгоритмом выбора из кластера. Поэтому преимущества алгоритма подсчета символов по времени вычисления ядра (см. разд. 3.1) теряют свою актуальность.

Итак, метод k-средних с алгоритмом выбора ядра из кластера эффективнее метода k-средних с алгоритмом подсчета символов по времени из-за существенной разницы в числе итераций и в среднем сравним с ним по качеству.

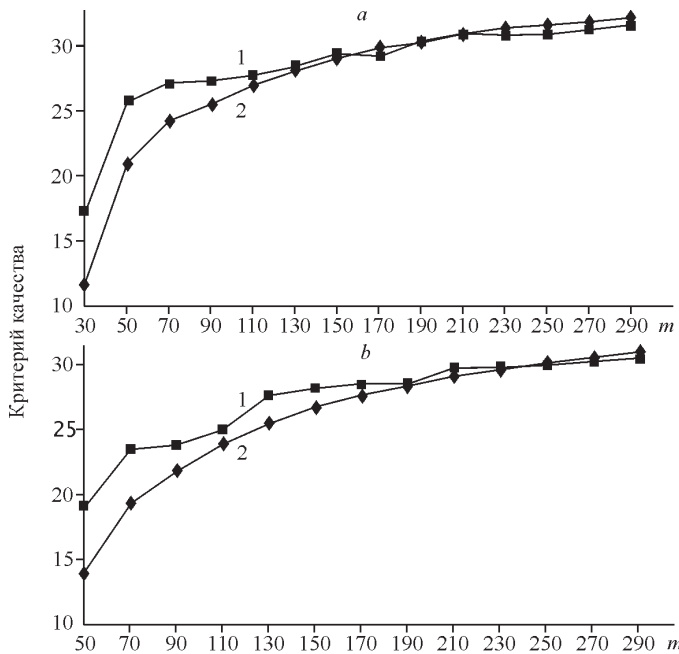


Рис. 5. Зависимости относительных критериев качества  $D/m$  (кривая 1) и  $D/m$  (кривая 2) кластеризаций с использованием алгоритмов подсчета символов и выбора из кластера соответственно от количества кластеризуемых последовательностей при фиксированных  $N$  и

в, если количество последовательностей в  $X$  много больше числа кластеров.

3.3. Экспериментальное исследование кластеризации методом  $k$ -средних частотных словарей символьных последовательностей в евклидовом пространстве. Экспериментально определяются и сравниваются вычислительные характеристики двух алгоритмов кластеризации множества частотных словарей  $\{W_1, \dots, W_m\}$  [8] в евклидовом пространстве: нейронная сеть Кохонена и метод  $k$ -средних.

Для оценки качества кластеризации используются критерии качества  $D$  и  $D$  для нейронной сети Кохонена и метода  $k$ -средних соответственно, вычисляющиеся по формуле, аналогичной (3), но с использованием евклидова расстояния:

$$D = \min_{i=1}^k d_E(a^i, W), \quad (3)$$

где  $P_1, P_2, \dots, P_k \in \{W_1, \dots, W_m\}$ ;  $d_E$  – евклидово расстояние.

Эксперимент 4. Цель эксперимента – показать зависимости критериев качества  $D$  и  $D$  от длины  $N$  последовательностей. Для каждого значения  $N$  от 50 до 1050 при фиксированных количестве последовательностей  $m = 300$  в  $X$ , количестве кластеров  $k = 30$ , мощности множества символов  $| \Sigma | = 4$ , толщине словарей  $q = 5$ , шаге обучения для сети Кохонена  $(n) = 1/n$  производились следующие действия:

- по входным последовательностям  $\{x^1, \dots, x^m\}$  строилось множество частотных словарей  $\{W_1, \dots, W_m\}$ , как описано в разд. 2;

– выполнялась кластеризация множества  $\{W_1, \dots, W_m\}$  двумя способами: методом k-средних с евклидовым расстоянием и с помощью нейронной сети Кохонена;

– для обоих вариантов кластеризации вычислялись соответственно критерии качества  $D$  и  $D'$  по формуле (3).

В данном эксперименте в качестве начальных ядер брались первые  $k$  векторов множества частотных словарей:  $a^1: W_1, \dots, a^k: W_k, k = m$ .

На рис. 6 изображены графики зависимостей критериев качества  $D$  и  $D'$  от длины  $N$  входных последовательностей. Из графиков видно, что при увеличении длины последовательностей оба критерия качества убывают. Поэтому приемлемое качество кластеризации достигается для достаточно длинных символьных последовательностей [9]. Заметим, что при фиксированном  $m = 300$  критерии качества обоих алгоритмов мало отличаются. В следующем эксперименте показано, что при увеличении числа  $m$  последовательностей эта разница увеличивается.

Эксперимент 5. Цель эксперимента – показать зависимости критериев качества  $D$  и  $D'$ , а также времени вычислений при кластеризации  $\{W_1, \dots, W_m\}$  двумя алгоритмами от количества  $m$  последовательностей в  $X$ . Для каждого значения  $m$  от 50 до 1000 при фиксированных длине  $N = 1000$ , количестве кластеров  $k = 30$ , мощности множества символов  $|X| = 4$ , толщины словарей  $q = 5$ , шаге обучения для сети Кохонена ( $n = 1/n$ ) производились следующие действия:

– по входным последовательностям  $\{x^1, \dots, x^m\}$  строилось множество частотных словарей  $\{W_1, \dots, W_m\}$ , как описано в разд. 2;

– выполнялась кластеризация множества  $\{W_1, \dots, W_m\}$  двумя способами: методом k-средних с евклидовым расстоянием и с помощью нейронной сети Кохонена;

– фиксировалось время выполнения кластеризации обоими алгоритмами;

– для обоих вариантов кластеризации вычислялись критерии качества  $D$  и  $D'$  по формуле (3).

В данном эксперименте в качестве начальных ядер брались первые  $k$  векторов множества частотных словарей:  $a^1: W_1, \dots, a^k: W_k, k = m$ .

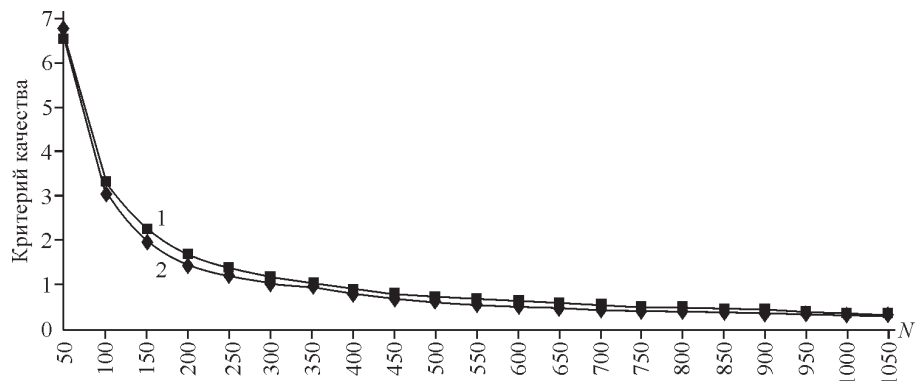


Рис. 6. Зависимости критериев качества  $D$  (кривая 1) и  $D'$  (кривая 2) кластеризации множества  $\{W_1, \dots, W_m\}$  с помощью нейронной сети Кохонена и методом k-средних соответственно от

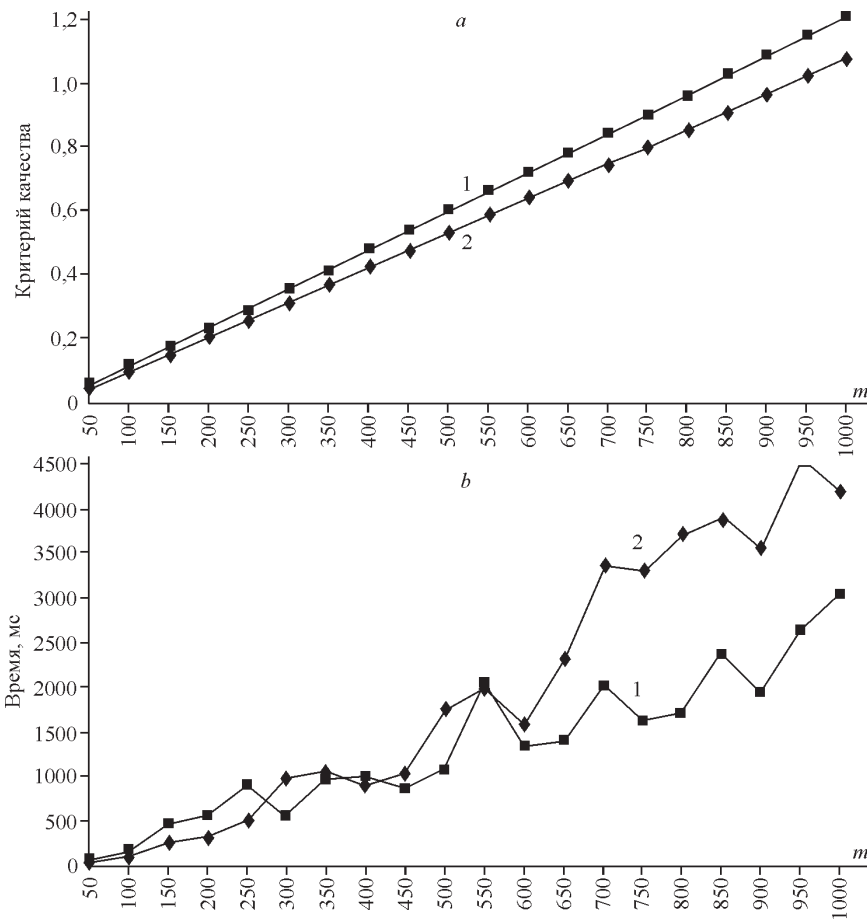


Рис. 7. Зависимости критериев качества  $D$  (кривая 1) и  $D$  (кривая 2) и времени вычислений при кластеризации множества  $\{W_1, \dots, W_m\}$  с помощью нейронной сети Кохонена и методом

На рис. 7, а показаны зависимости критериев качества  $D$  и  $D$  от  $m$ , а на рис. 7, б – зависимости времени вычислений при кластеризации  $\{W_1, \dots, W_m\}$  двумя алгоритмами от  $m$ . Из графиков видно, что при данном шаге обучения качество кластеризации с помощью нейронной сети Кохонена немногого хуже, однако сходимость этого алгоритма происходит быстрее сходимости метода k-средних. При подборе шага обучения можно добиться улучшения качества кластеризации сетью Кохонена с небольшой потерей скорости сходимости.

**Заключение.** В представленной работе приводится описание различных модификаций метода k-средних с расстоянием Левенштейна, которые в той или иной степени позволяют ускорить вычисления при кластеризации множества символьных последовательностей. Исследованы временные и качественные характеристики этих алгоритмов и сделаны следующие выводы.

1. В методе k-средних с расстоянием Левенштейна для вычисления ядра в кластерах лучше использовать алгоритм выбора ядра из кластера, так как он имеет преимущества по времени вычислений и в среднем сравним по качеству с алгоритмом подсчета символов.

2. Метод перехода к частотным словарям при кластеризации символьных последовательностей применим только для достаточно длинных последовательностей, какими являются, например, генетические последовательности. При этом, используя нейронную сеть Кохонена с подходящим шагом обучения, можно ускорить кластеризацию с некоторой потерей качества.

3. При использовании кластеризации для выявления структуры мелодии в музыкальном произведении следует применять метод k-средних с алгоритмом выбора из кластера для нахождения ядер. Переход к частотным словарям не дает качественных результатов из-за большой мощности алфавита и малых длин последовательностей, характеризующих нотный текст.

4. Использование метода перехода к частотным словарям при кластеризации генетических последовательностей позволяет избежать многократного и достаточно трудоемкого вычисления расстояния Левенштейна, что является существенным для длинных последовательностей.

#### СПИСОК ЛИТЕРАТУРЫ

1. Льюин Б. Гены. М: Мир, 1987.
2. Sander J., Ester M., Kriegel H.-P., Xu X. Density-based clustering in spatial databases: the algorithm GDBSCAN and its applications // Data Mining and Knowledge Discovery. 1998. 2, N 2. P. 169.
3. Guha S., Rastogi R., Shim K. ROCK: A robust clustering algorithm for categorical attributes // Information System. 2000. 25, N 5. P. 345.
4. Yang Y., Guan X., You J. CLOPE: A fast and effective clustering algorithm for transactional data // Proc. SIGKDD'02. Edmonton, Alberta, Canada, 2002. P. 682.
5. McQueen J. Some methods for classification and analysis of multivariate observations // Proc. of the Fifth Berkeley Symposium on Mathematical Statistics and Probability. Berkeley: University of California Press, 1967. Vol. 1. P. 281.
6. Kohonen T. K. Self-Organization and Associative Memory. N. Y.: Springer Verlag, 1989.
7. Levenshtein V. I. Binary codes capable of correcting deletions, insertions, and reversals // Cybernetics and Control Theory. 1966. 10, N 8. P. 707.
8. Gorban A. N., Popova T. G., Sadovsky M. G. Classification of symbol sequences over their frequency dictionaries: towards the connection between structure and natural taxonomy // Open Syst. & Inform. Dyn. 2000. N 7. P. 1.
9. Sadovsky M. G. The method to compare nucleotide sequences based on the minimum entropy principle // Bull. Math. Biol. 2003. N 65. P. 309.
10. Wagner R. A., Fischer M. J. The string-to-string correction problem // Journ. of the ACM. 1974. 21, N 1. P. 168.
11. Кузнецов П. Г. Обучение при распознавании символьных последовательностей // Вычислительные системы. 1994. № 150. С. 164.
12. <http://www.ncbi.nlm.nih.gov/entrez/viewer.fcgi?db=nucleotide&val=45357563>